

УДК 538.945

## НОВЫЙ ЭКСПЕРИМЕНТАЛЬНЫЙ КРИТЕРИЙ ПЕРЕХОДА БЕРЕЗИНСКОГО-КОСТЕРЛИЦА-ТАУЛЕСА

М. А. Васютин<sup>1</sup>, А. И. Головашкин, Н. Д. Кузьмичев<sup>1</sup>

На основе экспериментального исследования нелинейности монокристаллов  $YBa_2Cu_3O_{7-x}$  вблизи  $T_c$  предложен новый критерий для наблюдения перехода Березинского-Костерлица-Таулеса (БКТ-переход) в купратных ВТСП соединениях. Критерий заключается в существовании максимума на зависимости напряжения второй гармоники сигнала отклика образца, возбуждаемого переменным током, от величины постоянного тока смещения. Показано, что положение максимума второй гармоники не зависит от температуры вблизи  $T_c$ , что согласуется с независимостью БКТ-перехода от измерительного тока.

Исследования нелинейных свойств высокотемпературных сверхпроводников (ВТСП) вблизи температуры перехода в сверхпроводящее состояние ( $T_c$ ) важны как для фундаментальной, так и прикладной физики сверхпроводимости. Купратные ВТСП имеют слоистую структуру и квазидвумерные свойства, вследствие чего в них наблюдаются сильные тепловые флуктуации. Данная особенность ВТСП соединений может приводить к флуктуационному рождению пар “вихрь-антивихрь” (т.е. вихрей с положительной и отрицательной циркуляциями) в слоях  $CuO_2$  и переходу Березинского-Костерлица-Таулеса (БКТ-переходу). Изучение вольт-амперных характеристик (ВАХ) ВТСП вблизи  $T_c$  во многом связаны с выяснением существования БКТ-перехода в этой температурной области. Наличие в купратных ВТСП  $CuO_2$ -плоскостей, достаточно слабо взаимодействующих между собой, приводит к анизотропии свойств этих соединений. И возникает вопрос о необходимой величине этой анизотропии, достаточной для появления БКТ-перехода.

<sup>1</sup>Мордовский госуниверситет им. Н. П. Огарева, 430000, Саранск, Россия.

Известно, что сила взаимодействия между плоскостями  $\text{CuO}_2$  (и, следовательно, анизотропия свойств) значительно различается для разных ВТСП соединений. Так в  $\text{YBa}_2\text{Cu}_3\text{O}_{7-x}$  (YBCO) анизотропия сопротивления (отношение сопротивлений в направлении оси “с” и плоскости “ab”  $\rho_c/\rho_{ab}$ ) составляет около 30 при температуре  $T \geq T_c$ , глубины проникновения  $\lambda_c/\lambda_{ab}$  – около 10 при  $T = 0$ , длины когерентности  $\xi_{ab}/\xi_c$  – примерно 8 при  $T = 0$ . В висмутовых ВТСП анизотропия приведенных параметров значительно больше ( $\rho_c/\rho_{ab} \sim 10^5$ ,  $\lambda_c/\lambda_{ab} \approx 20$ ,  $\xi_{ab}/\xi_c \approx 15$ ). Приведенные значения параметров взяты из работ [1–3]. Из-за наличия столь сильной анизотропии свойств проявление БКТ-перехода в висмутовых образцах практически не оспаривалось, в то же время в иттриевых – считалось маловероятным. До сих пор вопрос о наличии или отсутствии БКТ-перехода в YBCO до конца не решен.

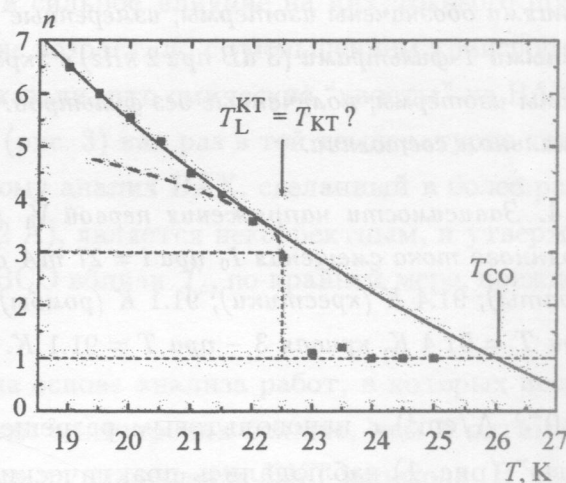
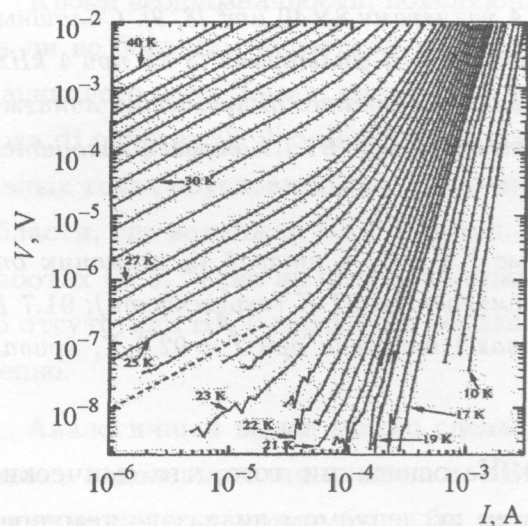


Рис. 1. ВАХ ультратонкой пленки YBCO при температурах вблизи  $T_c$  (из работы [4]). Штриховая линия показывает омический ход.

Рис. 2. Температурная зависимость показателя степени  $n$  в формуле (1), полученная в работе [7] на основании экспериментальных данных работы [4].

Получение сверхтонких пленок толщиной в одну элементарную ячейку позволило исследовать образцы YBCO с максимально доступной квазидвумерностью, что должно было бы точно установить наличие или отсутствие БКТ-перехода в этом соединении, но этого не произошло. В часто цитируемой работе Repaci et al. [4] отсутствие БКТ-перехода в ВТСП YBCO определялось по ВАХ на постоянном токе именно на такой пленке (single-unit-cell) толщиной  $d = 12 \text{ \AA}$  при очень малых токах (плотность тока

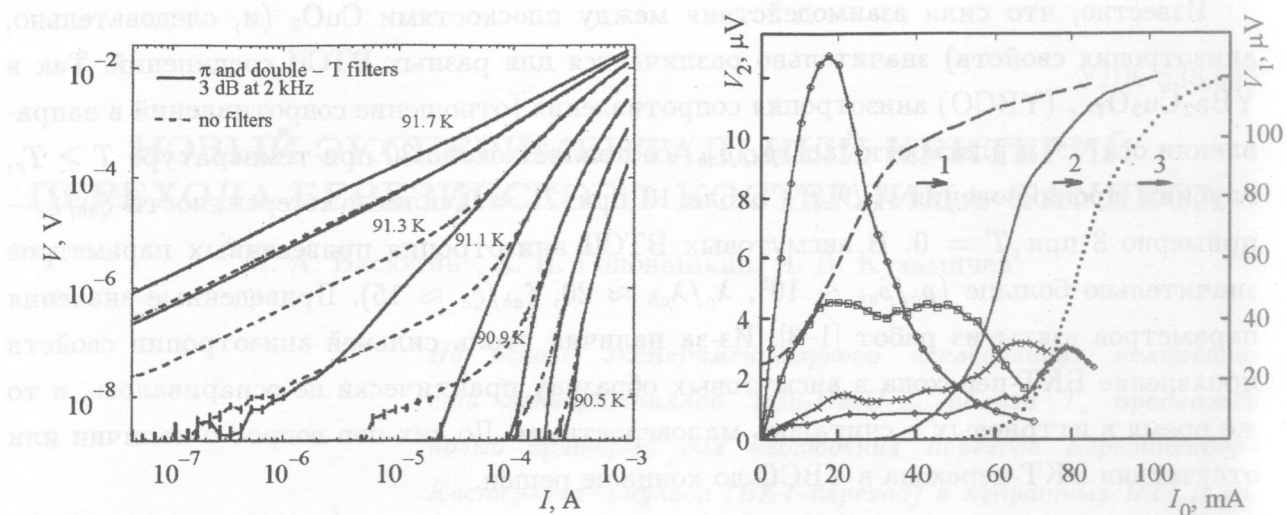


Рис. 3. Две группы ВАХ для пленки, толщиной  $2100 \text{ \AA}$  размерами  $8 \times 40 \mu\text{m}^2$  [8, 9]. Сплошными линиями обозначены изотермы, измеренные с пассивными  $\Pi$ -фильтрами ( $3 \text{ dB}$  при  $4 \text{ kHz}$ ) и двойными  $T$ -фильтрами ( $3 \text{ dB}$  при  $2 \text{ kHz}$ ) в экранированной комнате. Штриховыми линиями показаны изотермы, полученные без фильтров. При температуре  $91.7 \text{ K}$  образец находится в нормальном состоянии.

Рис. 4. Зависимости напряжения первой  $V_1$  (кривые 1, 2 и 3) и второй  $V_2$  гармоник от постоянного тока смещения  $I_0$  при  $i = 27 \text{ mA}$  для температур:  $92 \text{ K}$  (окружности);  $91.7 \text{ K}$  (квадраты);  $91.4 \text{ K}$  (крестики);  $91.1 \text{ K}$  (ромбы). Кривая 1 получена при  $T = 92.0 \text{ K}$ , кривая 2 – при  $T = 91.4 \text{ K}$ , кривая 3 – при  $T = 91.1 \text{ K}$ .

$j < 10^{-3} \text{ A/cm}^2$ ) с нановольтовым разрешением. На основании того, что омические “хвосты” (рис. 1) наблюдались практически во всем исследуемом диапазоне температур, авторы сделали вывод о невозможности проявления БКТ-перехода, т.к. распаривание вихрей происходило с понижением температуры при более слабом токе и выявить нижний предел не представлялось возможным. Увеличение чувствительности аппарата только сдвигало начало омического поведения в более низкую температурную область. Обработка результатов в двойном логарифмическом масштабе с определением температурно-зависимого показателя степени для ВАХ, аппроксимируемых степенной функцией

$$V \sim I^{n(T)}, \quad (1)$$

не позволила корректно определить температуру БКТ-перехода  $T_{\text{БКТ}}$ . Показатель  $n$  зависел еще и от тока, т.е. однозначное определение  $T_{\text{БКТ}}$  было невозможно, хотя скачок Нельсона–Костерлица и наблюдался (рис. 2).

На основании этого в работе [5] Strachan et al. для определения  $T_{\text{БКТ}}$  предложили “критерий вогнутости” ( $T_{\text{БКТ}}$  – температура, при которой выпуклость зависимости  $\log V(\log I)$  сменяется вогнутостью), т.к. формально наблюдаемый скачок Нельсона–Костерлица (рис. 2) недостаточен для подтверждения БКТ-перехода. Однако этот критерий, примененный в анализе данных, полученных на висмутовых пленках  $\text{Bi}_2\text{Sr}_2\text{CaCu}_2\text{O}_8$  Sefrioui et al. [6], также оказался недостаточным, т.к. и однородные, и неоднородные пленки (где БКТ-переход наверняка отсутствовал), удовлетворяли этому критерию. Если же рассматривать более жесткий критерий, предложенный в [7], и названный “БКТ-критерием”, то его практически невозможно применить, т. к. он требует абсолютно прямых линий (в пределах точности измерений) для ВАХ в двойном логарифмическом масштабе ниже  $T_{\text{БКТ}}$ .

Кроме неоднозначности, появляющейся при обработке ВАХ на постоянном токе, едва ли не большим недостатком оказалось и сильное влияние на них токового шума и магнитного поля Земли, причем это влияние возрастало с уменьшением транспортного тока. В работах [8, 9] Sullivan et al. ясно показали, что омические “хвосты” на ВАХ при малых токах обусловлены токовым шумом (рис. 3) как раз в той температурно-токовой области, где возможен БКТ-переход. Поэтому анализ ВАХ, сделанный в более ранних работах [4, 5, 7] (но на пленке толщиной 12 Å), является некорректным, и утверждать об отсутствии БКТ-перехода в образцах YBCO вблизи  $T_c$ , по-крайней мере, преждевременно.

Аналогичный вывод можно сделать и на основе анализа работ, в которых исследовались недолегированные пленки YBCO, где анизотропия больше, чем в оптимально легированных, и можно было бы надеяться на проявление БКТ-перехода. В частности, Зуев и др. [10] исследовали поверхностное сопротивление тонких пленок сильно недолегированного YBCO с целью определения температурной зависимости глубины проникновения магнитного поля  $\lambda(T)$  и плотности сверхпроводящего конденсата  $n_s$  ( $n_s \sim \lambda^{-2}$ ). Они получили заметную нелинейную зависимость  $T_c$  от  $n_s$  и объяснили этот факт отсутствием БКТ-перехода. Но Шнейдер в комментарии к работе [10] указал на то, что изменение  $T_c$  в данном случае не связано с изменением анизотропии [11], поэтому вывод Зуева некорректен. В данном случае сверхтекучая плотность мала и фазовые флуктуации превышают энергию связи сверхпроводящих пар [12], поэтому переход в сверхпроводящее состояние “приобретает черты БКТ-перехода” [13].

В нескольких экспериментах результаты интерпретировались как проявления БКТ-перехода. При исследовании эпитаксиальных пленок YBCO Хохлов и др. [14] интер-

претировали излом на магнитополевой зависимости температурного положения максимума диссипативной части магнитной восприимчивости как переход от двумерного к трехмерному поведению, ассоциируя температуру излома с  $T_{\text{БКТ}}$ . Гаспаров [15] в экспериментах на сверхтонких пленках YBCO на постоянном токе, на частотах 8 MHz и 30 GHz получил три характерные температуры, которые он связал с разными  $T_{\text{БКТ}}$  в модели БКТ-перехода. Артемов [16] привел аргументы в пользу модели БКТ-перехода при описании экспериментов на пленках YBCO разной толщины [17]. Теоретическую возможность БКТ-перехода в сверхпроводящей пленке любого состава предсказывает Коган в работе [18], в которой он утверждает, что для наблюдения перехода необходим сверхпроводящий субстрат, отделенный от пленки диэлектрическим слоем.

Таким образом, из проведенного анализа работ можно сделать два вывода: во-первых, что вопрос о наличии или отсутствии БКТ-перехода в ВТСП YBCO остается до сих пор открытым, во-вторых, что для четкого доказательства наличия БКТ-перехода кроме ВАХ на постоянном токе необходимы и исследования на переменном токе, обязательно разных частот. В частности, большую информацию о природе соответствующей нелинейности несут токовые, температурные и магнитополевые зависимости высших гармоник напряжения сигнала отклика образца, возбуждаемого переменным током [19–23].

В настоящей работе исследовались монокристаллы  $\text{YBa}_2\text{Cu}_3\text{O}_{7-x}$  с размерами  $\sim 0.03 \times (0.3 - 1) \times (1 - 2) \text{ mm}^3$ . Они имели  $T_c \approx 91.9 - 92.7 \text{ K}$  и ширину перехода  $\Delta T_c < 0.3 \text{ K}$ . Измерялись как ВАХ на постоянном токе, так и напряжения гармоник сигнала отклика. Измерения ВАХ и напряжений гармоник проводились четырехконтактным методом. Сила постоянного тока  $I_0$  варьировалась в пределах от 0 до 200 mA. Амплитуда переменного тока  $i$  была в пределах  $0 \leq i \leq 27 \text{ mA}$ . Частота модуляции  $\nu$  находилась в интервале от 40 Hz до 10 kHz. В экспериментах частотной зависимости напряжений гармоник не наблюдалось. Большинство экспериментов выполнено на переменном токе частотой 1 kHz.

На рис. 4 приведены полученные зависимости напряжения первой  $V_1$  и второй  $V_2$  гармоник от постоянного тока смещения  $I_0$  для разных температур в интервале от 91 до 92 K. Из рисунка видно, что кривая  $V_2(I_0)$  для  $T < 92 \text{ K}$  имеет два максимума. Положение первого максимума при  $I_0 \sim 20 \text{ mA}$  практически не зависит от температуры, поэтому его невозможно связать с движением вихрей, образованных магнитным полем зондирующего тока, под действием этого же тока. Величина первого максимума резко увеличивается с ростом температуры до 92 K. В рамках модели БКТ-перехода

это объясняется тем, что при  $I_0 \sim 20$  mA подавляющее число пар “вихрь-антивихрь” будет распарено (так как “число посадочных мест вихрей” ограничено), и при дальнейшем росте  $I_0$  количество распаренных вихрей будет расти медленнее, что приводит к уменьшению нелинейности ВАХ. Собственное магнитное поле зондирующего тока тоже будет подавлять нелинейность ВАХ. Первый максимум соответствует начальной области гармоники  $V_1$ . Положение второго максимума с ростом  $T$  смещается в сторону уменьшения  $I_0$ . Наблюдается корреляция положения второго максимума с участком замедления роста  $V_1$ . При  $T = 92$  K второй максимум практически сливаются с первым.

Независимость положения первого максимума от температуры дает основание считать, что основной вклад в нелинейность ВАХ вблизи  $T = 92$  K вносит БКТ-переход, так как температура БКТ-перехода не должна зависеть от измерительного тока. Второй максимум связан с крипом магнитного потока зондирующего тока, так как его положение сильно зависит от температуры, а величина меняется слабо и коррелирует с кривой  $V_1$ . Крип магнитного потока вносит основной вклад в нелинейность ВАХ при температурах, меньших 91.4 K. Таким образом, использование модуляционной методики для исследования нелинейности ВТСП YBCO вблизи критической температуры позволило доказать, что в этом соединении проявляется переход Березинского–Костерлица–Таулеса. Этот вывод согласуется с наблюдением нами в этих образцах скачка Нельсона–Костерлица по измерениям ВАХ на постоянном токе [22]. Т.е. величина анизотропии свойств YBCO достаточна для экспериментального наблюдения БКТ-перехода в этом ВТСП соединении. Необходимо отметить, что для проявления БКТ-перехода нужно иметь монокристаллы достаточно высокого качества.

Экспериментальная токовая зависимость напряжения второй гармоники  $V_2(I_0)$  предоставляет новый критерий существования БКТ-перехода в купрятных высокотемпературных сверхпроводниках, который дает возможность исследовать переход при ненулевом токе. Экспериментальный критерий заключается в существовании максимума на зависимости напряжения второй гармоники от тока  $V_2(I_0)$ , положение которого не зависит от температуры вблизи  $T_c$ . Аналогичный вывод следует и из результатов измерений более высоких гармоник напряжения.

Авторы благодарят Т. Г. Уварову (ИКАН) за предоставление высококачественных монокристаллов  $\text{YBa}_2\text{Cu}_3\text{O}_{7-x}$ . Работа выполнена при поддержке РФФИ (проект N 07-02-00097), РАН и Министерства образования и науки.

## ЛИТЕРАТУРА

- [1] N. E. Hussey, arXiv:0804.2984v1 [cond-mat.supr-con] 18 Apr 2008.
- [2] М. Р. Трунин, УФН **175**, 1017 (2005).
- [3] Ю. М. Ципенюк, *Физические основы сверхпроводимости* (Физматкнига, Москва, 2003).
- [4] J. M. Repaci, C. Kwon, Q. Li, et al., Phys. Rev. B **54**, R9674 (1996).
- [5] D. R. Strachan, M. C. Sullivan, P. Fournier, et al., Phys. Rev. Lett. **87**, 067007 (2001).
- [6] Z. Sefrioui, D. Arias, C. Leon, et al., Phys. Rev. B **70**, 064502 (2004).
- [7] D. R. Strachan, C. J. Lobb, and R. S. Newrock, Phys. Rev. B **67**, 174517 (2003).
- [8] M. C. Sullivan, T. Frederiksen, J. M. Repaci, et al., Phys. Rev. B **70**, 140503 (2004).
- [9] M. C. Sullivan, D. R. Strachan, T. Frederiksen, et al., Phys. Rev. B **72**, 092507 (2005).
- [10] Yu. Zuev, M. S. Kim, and T. R. Lemberger, Phys. Rev. Lett. **95**, 137002 (2005).
- [11] T. Schneider, cond-mat/0509768 (2005).
- [12] V. J. Emery and S. A. Kivelson, Nature **374**, 434 (1995).
- [13] Ю. В. Копаев, В. И. Белявский, В. В. Капаев, УФН **178**, 202 (2008).
- [14] Б. А. Хохлов, А. Ю. Прохоров, В. Ф. Дроботько и др., ФНТ **28**, 535 (2002).
- [15] V. A. Gasparov, Low Temp. Phys. **32**, 838 (2006).
- [16] А. Н. Артемов, ФТТ **47**, 1019 (2005).
- [17] J. Kötzler, D. Görlitz, S. Skwirblies, and A. Wriedt, Phys. Rev. Lett. **87**, 127005 (2001).
- [18] V. G. Kogan, Phys. Rev. B **75**, 064514 (2007).
- [19] М. А. Васютин, Н. Д. Кузьмичев, Письма в ЖТФ **18**, 5 (1992).
- [20] Н. Д. Кузьмичев, М. А. Васютин, А. И. Головашкин, И. С. Левченко, ФТТ **37**, 2207 (1995).
- [21] Н. Д. Кузьмичев, М. А. Васютин, ФТТ **40**, 202 (1998).
- [22] М. А. Васютин, А. И. Головашкин, Н. Д. Кузьмичев, ФТТ **48**, 2128 (2006).
- [23] N. D. Kuzmichev, M. A. Vasyutin, A. I. Golovashkin, Physica C **460-462**, Part 2, 849 (2007).

Поступила в редакцию 27 августа 2008 г.